

# **REALIZACIJA METODE ETALONIRANJA GUSTINE TEČNOSTI MERENJEM NA HIDROSTATIČKOJ VAGI U DIREKCIJI ZA MERE I DRAGOCENE METALE**

**Jelena Bebić, Vladan Škerović, Luka Gažević**

**Ključne reči:** etaloniranje, gustina tečnosti, hidrostaticka vaga

## **KRATAK SADRŽAJ**

U radu je prikazana realizacija primarne metode za etaloniranje gustine tečnosti, primenom sistema hidrostaticke vase u Direkciji za mere i dragocene metale. Složeni merni sistem predstavlja modifikaciju postojeće hidrostaticke vase koja se koristi i za etaloniranje areometara, za šta su već međunarodno potvrđene merne mogućnosti DMDM u bazi BIPM-a. Etaloniranje gustine tečnosti vrši se pomoću etalonskog silicijumskog tega, pod strogo kontrolisanim uslovima okoline i temperature tečnosti.

Predstavljeni su i rezultati međulaboratorijskog ključnog poređenja EURAMET.M.D-K2.1 (1522) u kome je učestvovala Laboratorija za gustinu DMDM, koje je obuhvatalo etaloniranje gustine tri tečnosti različitih fizičko-hemijskih karakteristika, na temperaturama od 20 °C i 5 °C. Dati su i izvedeni zaključci na osnovu rezultata poređenja, vezani za rukovanje etaloniranim tečnostima, kao i za samu tehniku vršenja metode etaloniranja u zavisnosti od vrste tečnosti. Ovo poređenje realizovano je u sklopu evropskog istraživačkog EMPIR projekta 17RPT02 "rhoLiq".

# **REALIZATION OF LIQUID DENSITY CALIBRATION METHOD USING HYDROSTATIC WEIGHING AT DIRECTORATE OF MEASURES AND PRECIOUS METALS**

**Keywords:** calibration, density of liquids, hydrostatic balance

## **ABSTRACT**

In this paper the realization of primary method for calibration of liquids, using the system of hydrostatic weighing at Directorate of Measures and Precious Metals (DMDM), is presented. The complex measuring system is a modification of the existing hydrostatic balance that is also used for the calibration of hydrometers, for which the DMDM measuring capabilities at the BIPM database have already been internationally confirmed. Liquid density calibration is performed using a standard silicone sinker, under strictly controlled ambient conditions and liquid temperature.

The results of the interlaboratory key comparison EURAMET.M.D-K2.1 (1522) in which the DMDM Density laboratory participated, which included the calibration of density of three liquids of different physico-chemical characteristics, at temperatures of 20 °C and 5 °C, are also presented. Based on the results of the comparison, the conclusions related to the handling of the calibrated liquids, as well as the technique of performing the calibration method, depending on the type of calibrated liquid, were given. This comparison was realized within the European research EMPIR project 17RPT02 "rhoLiq".

### ***Acknowledgements of funding***

***These major results regarding the liquid density measurements at DMDM are part of a project that has received funding from the EMPIR programme, 17RPT02 rhoLiq – Establishing traceability for liquid density measurements, co-financed by the Participating States and from the European Union's Horizon 2020 research and innovation programme.***



The EMPIR initiative is co-funded by the European Union's Horizon 2020 research and innovation programme and the EMPIR Participating States

## UVOD

Uključivanjem u Evropski istraživački EMPIR projekat 17RPT02 rhoLiq Laboratorija za gustinu DMDM je pokrenula razvoj mernog sistema hidrostatičke vage za merenje gustine tečnosti i postavljanje metode merenja gustine tečnosti na primarnom nivou. Složeni merni sistem predstavlja modifikaciju postojeće hidrostatičke vage koja se koristi i za etaloniranje areometara, za šta su već međunarodno potvrđene merne mogućnosti DMDM u bazi BIPM-a, a verifikacija novorealizovane metode je ostvarena kroz učešće u ključnom poređenju EURAMET.M.D-K2.1 (1522) [1].

## MERENJE GUSTINE TEČNOSTI NA HIDROSTATIČKOJ VAGI

### *Dizajn hidrostatičke vage*

Sistem hidrostatičke vage predstavlja složeni merni sistem čiji su osnovni delovi navedeni u tabeli 1.

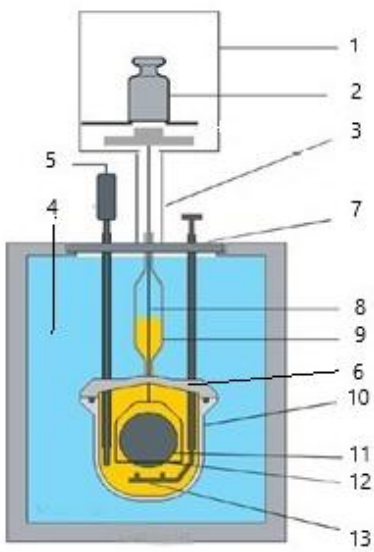
Tabela 1. Oprema u sklopu sistema hidrostatičke vage

| Oprema   | Merni opseg   | Proizvođač                                       | tip                |
|--|---|--|--------------------|
| <b>Analitička vaga</b>                                       | (0-520) g;<br>N.V.P. 0,1 mg                         | Sartorius Lab Instruments<br>GmbH&Co.KG, Nemačka | MSX (SE EA)        |
| <b>Termostatsko vodeno kupatilo sa spoljnim cirkulatorom</b> | (-40 do 100) °C; N.V.P.<br>0,01 °C                  | Tamson Instruments,<br>Holandija                 | TV 7000<br>TLC 15  |
| <b>Termometrijski otporni most</b>                           | -260 °C do +962 °C<br>(1mK)                         | Anton Paar, Austrija                             | MKT50              |
| <b>Platinski termometri (2)</b>                              | (1 mK)  | Anton Paar; Austrija                             | T100               |
| <b>Silicijumski teg (sinker)</b>                             | masa 330 g; zapremina<br>150 cm <sup>3</sup> / 20°C | Schmidt-Braunschweig,<br>Nemačka                 | Sinker Type 2      |
| <b>Pt-Rh žica</b>  | 0,2 mm  | Institut za rudarstvo i<br>metalurgiju Bor       | 99,95 % Pt<br>+ Rh |
| <b>Termohigrobarometar</b>                                   | (500 -1100) hPa<br>(0 -100) %RH<br>(-40 do +60) °C  | Vaisala, Finska                                  | PTU-303            |
| <b>Kamera</b>  | /   | HIKVISION  | DS-2CD4020F        |
| <b>Garnitura tegova E2</b>                                   | 1 mg do 200 g                                       | HAIGIS, Nemačka                                  | 7723               |

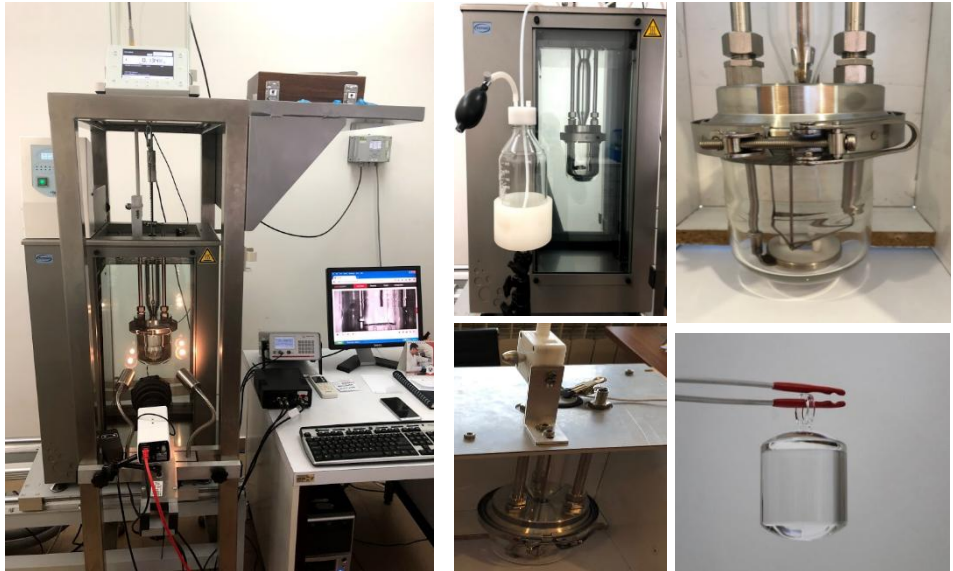
Tehničko rešenje za mernu postavku hidrostatičke vage, za merenje gustine tečnosti (slika 1), obuhvata korišćenje postojećeg termostatskog kupatila (4), analitičke vage (1), termometra (5), konstrukcije sa automatizovanom pokretnom platformom, termohigrobarometra i silicijumskog sinkera (11).

Staklena posuda (10), dimenzija koje omogućavaju korišćenje postojećeg silikonskog sinkera, je namenski izrađena zajedno sa poklopcom od nerđajućeg čelika (6) sa otvorima za termometar, manipulator (13) i cev za punjenje tečnosti, uključujući centralni ulaz sa ekspanzionom posudom (9) kroz koju prolazi platinska žica (8). Takođe je konstruisan kavez za poniranje sinkera (12) koji visi na platinskoj žici i manipulator sa manuelnim upravljanjem, koji se nalazi unutar posude tokom merenja.

Iz poklopca se po tehničkom dizajnu izvode i tri nerđajuće cevi za tri ulaza (termometar, crevo za punjenje i manipulator) koje će služiti za držanje konstrukcije zajedno sa ekspanzionom posudom pričvršćenom za pokrivnu ploču termostatskog kupatila (7). Cela konstrukcija je hermetički zaptivena da bi se mogla potopiti u termostatsko vodeno kupatilo.



Slika 1. Šematski prikaz sistema hidrostatičke vase



Slika 2. Izgled sistema hidrostatičke vase

### *Postupak merenja*

Staklena posuda, prethodno potopljena u termostatsko vodeno kupatilo, puni se tečnošću kroz teflonsko crevo unutrašnjeg prečnika 4 mm. Ceo proces punjenja se posmatra kamerom, kako bi se pazilo da nema vazdušnih mehurića. Kada je tečnost voda, pre merenja se degazira zagrevanjem na 80 °C u trajanju od pola sata. Prilikom punjenja posude tečnošću čija se gustina određuje, u mernoj posudi nalaze se nosač (kavez) za sinker, na kome leži sinker, termometar i manipulator u položaju ispod kaveza.

Nakon punjenja posude tečnošću do približno polovine ekspanzionog suda vrši se stabilizacija temperature na željenoj vrednosti u trajanju od 24 sata. Temperatura okoline je takođe podešena da bude ista ili približna temperaturi tečnosti unutar posude. Na taj način se minimizira prenos toplote iz okoline u tečnost. Takođe je minimalna temperturna razlika između tečnosti i sinkera.

Radom hidrostatičke vase se upravlja ručno. Postavljanje sinkera na nosač u obliku kaveza se vrši ručnim mehaničkim manipulatorskim sistemom. Pomeranjem položaja manipulatora, koji služi za podizanje sinkera sa metalnih ivica kaveza i spuštanje sinkera na njih, postiže se rasterećenje vase, u kom položaju se meri samo konstrukcija kaveza okačenog na platinsku žicu, ili opterećenje vase, kada se meri i masa sinkera zajedno sa kavezom okačenim o žicu. Merenje mase na analitičkoj vagi (slika 1) se vrši metodom supstitucije (2), pri čemu se mase tegova za supstituciju mere na kraju merenja sinkera ili praznog kaveza. Svako očitavanje vase je srednja vrednost od 100 pojedinačnih očitavanja. Za svaku tečnost se vrši 10 nezavisnih merenja, svako od njih kada je vaga naizmenično opterećena i neopterećena sinkerom.

### *Određivanje gustine tečnosti*

Ako su masa  $m_s$  i zapremina  $V_s$  silicijumskog tega u vazduhu poznate i ako je masa silicijumskog tega potpuno uronjenog u referentnu tečnost  $m_s^a$  određena merenjem, gustina referentne tečnosti  $\rho_L$ , [2], se izračunava kao:

$$\rho_L = \frac{(m_s - m_s^a)}{V_s} \quad (1)$$

Rezultat merenja mase  $m_s^a$  određuje se metodom supstitucije:

$$m_s^a = m_s \left( 1 - \frac{\rho_A}{8000 \text{ kg/m}^3} \right) + (m_{Tmer} - m_{Smer}) \left( 1 - \frac{\rho_A}{8000 \text{ kg/m}^3} \right) \quad (2)$$

gde  $m_s$  označava masu tegova za supstituciju prema njihovom uverenju o etaloniranju;  $m_{Tmer}$  i  $m_{Smer}$  označavaju očitavanja vage kada je opterećena silicijumskim tegom, odnosno tegovima za supstituciju. Gustina tegova je poznata i iznosi  $8000 \text{ kg/m}^3$ , dok je  $\rho_A$  gustina vazduha.

Pri merenju na temperaturama različitim od ciljne temperature i pritiscima različitim od  $101325 \text{ Pa}$ , odnosno normalnom pritisku, primenjuju se odgovarajuće korekcije rezultata. Gustina na ciljnoj temperaturi i normalnom pritisku određuje se prema jednačini:

$$\rho_{t,p} = \rho_m (1 + \gamma(t - t_0)) (1 - \kappa(p - p_0)) \quad (3)$$

Gde je  $\rho_{t,p}$  gustina pod standardnim uslovima,  $\rho_m$  izmerena gustina,  $\gamma$  koeficijent toplotnog širenja silicijuma,  $\kappa$  je faktor kompresibilnosti silicijuma,  $t_0$  referentna temperatura (iz uverenja o etaloniranju za sinker), a  $p_0$  normalni pritisak ( $p_0 = 101325 \text{ Pa}$ ).

Korekcija na pritisak se ne primenjuje usled male kompresibilnosti silicijumskog tega.

### *Merna nesigurnost metode*

Proračun merne nesigurnosti etaloniranja gustine tečnosti metodom hidrostatičke vage zasnovan je na GUM principima [3]. Budžet merne nesigurnosti na primeru merenja gustine uzorka deuterizovane vode na  $20^\circ\text{C}$  je prikazan u tabeli 2.

Tabela 2. Budžet merne nesigurnosti

| Uticajna veličina  | Vrednost /srednja vrednost | Jedinica                          | Standardna nesigurnost | Jedinica                          | Stepeni slobode | Nesigurnost ( $\text{kg m}^{-3}$ ) |
|--|----------------------------|-----------------------------------|------------------------|-----------------------------------|-----------------|------------------------------------|
| <b>Masa sinkera</b>  | 319,79094                  | g                                 | $7,50 \cdot 10^{-5}$   | g                                 | 50              | 0,00051                            |
| <b>Zapremina sinkera na njegovoj referentnoj temperaturi</b> | 145,22397                  | $\text{cm}^3$                     | $2,50 \cdot 10^{-4}$   | $\text{cm}^3$                     | 50              | 0,00170                            |
| <b>Termalna ekspanzija zapremine sinkera</b>                 | 0,0000015                  | $\text{cm}^3$                     | $1 \cdot 10^{-11}$     | $\text{cm}^3$                     | 50              | 0,00000                            |
| <b>(Izotermna) kompresibilnost sinkera</b>                   |                            | $\text{Pa}^{-1}$                  |                        | $\text{Pa}^{-1}$                  | 50              | 0,00000                            |
| <b>Masa tegova</b>   | 174,63                     | g                                 | $3,34 \cdot 10^{-5}$   | g                                 | 50              | 0,00025                            |
| <b>Zapremina tegova</b>                                      | 21,6686                    | $\text{cm}^3$                     | $2,71 \cdot 10^{-3}$   | $\text{cm}^3$                     | 50              | 0,00005                            |
| <b>Masena razlika mensiskusa</b>                             | 0                          | g                                 | $5,00 \cdot 10^{-4}$   | g                                 | 50              | 0,00344                            |
| <b>Temperatura tečnosti u okolini sinkera</b>                | 20                         | $^\circ\text{C}$                  | $5,10 \cdot 10^{-3}$   | K                                 | 50              | 0,00109                            |
| <b>Zapreminske termalne koeficijente širenja tečnosti</b>    | 0,00021                    | $\text{kg m}^{-3} \text{ K}^{-1}$ | 0,00002                | $\text{kg m}^{-3} \text{ K}^{-1}$ | 50              | 0,00008                            |
| <b>Izotermalna kompresibilnost tečnosti</b>                  | $4,60 \cdot 10^{-10}$      | $\text{Pa}^{-1}$                  | $2,00 \cdot 10^{-11}$  | $\text{Pa}^{-1}$                  | 50              | 0,000004                           |
| <b>Razlika pokazivanja vage sa sinkerom i bez njega</b>      | 174,63088                  | g                                 | $1,41 \cdot 10^{-4}$   | g                                 | 50              | 0,00096                            |
| <b>Gustina vazduha</b>                                       | 1,1888456                  | $\text{kg m}^{-3}$                | $2,97 \cdot 10^{-3}$   | $\text{kg m}^{-3}$                | 50              | 0,00049                            |
| <b>Pritisak tečnosti u okolini sinkera</b>                   | 1019,15                    | hPa                               | 1,0                    | hPa                               | 50              | 0,00005                            |

|   |                      |                    |                      |                    |    |         |
|---|----------------------|--------------------|----------------------|--------------------|----|---------|
| Razlika visina izmedju tegova i sinkera                                       | 0,6                  | m                  | 0,0                  | m                  | 50 | 0,00000 |
| Gradijent gravitacionog ubrzanja  | $3,00 \cdot 10^{-7}$ | $\text{m}^{-1}$    | $1,00 \cdot 10^{-7}$ | $\text{m}^{-1}$    | 50 | 0,00000 |
| Srednja gustina i eksperimentalna standardana devijacija                      | 999,7540643          | $\text{kg m}^{-3}$ | 0,000348351          | $\text{kg m}^{-3}$ |    |         |
| Nesigurnost rezultata merenja   |                      |                    |                      |                    |    |         |
| Kombinovana standardna nesigurnost rezultata merenja gustine, $u_c$           |                      |                    | 0,0042               | $\text{kg m}^{-3}$ |    |         |
| Efektivni stepeni slobode $n_{\text{eff}}$                                    |                      |                    | 102                  |                    |    |         |
| Student t-factor $t_{95}(n_{\text{eff}})$                                     |                      |                    | 1,98                 |                    |    |         |
| Proširena merna nesigurnost po gustini, $U_{95} = t_{95}(n_{\text{eff}}) u_c$ |                      |                    | 0,0084               | $\text{kg m}^{-3}$ |    |         |
| Relativna proširena merna nesigurnost po gustini                              |                      |                    | 8                    | ppm                |    |         |

Nesigurnosti koje se odnose na masu i zapreminu sinkera na njegovoj referentnoj temperaturi, kao i na termičko širenje zapremine sinkera, preuzete su iz uverenja o etaloniranju.

Za nesigurnost u vezi sa izotermalnom kompresibilnošću sinkera nema dostupnih podataka.

Nesigurnost u vezi sa masom i zapreminom tegova za supstituciju preuzeta je iz uverenja o etaloniranju, kao kvadratni koren iz zbiru kvadrata svih nesigurnosti pojedinačnih tegova.

Nesigurnost vezana za razliku u masi meniskusa procenjuje se eksperimentalno, promenom nivoa tečnosti, što se postiže pomeranjem termometra, uronjenog u tečnost čija se gustina meri, gore-dole i merenjem promene mase.

Nesigurnost koja se odnosi na merenje temperature tečnosti u okolini sinkera se procenjuje kao kvadratni koren iz zbiru kvadrata nesigurnosti etaloniranja termometra (najveća komponenta 0,005 K), rezolucije termometra, disipacije merenja temperature (zanemarljiva) i procene razlike temperatura tečnosti i sinkera (0,001 K) zbog dugog perioda stabilizacije.

Za uticaj koeficijenta zapreinskog toplotnog širenja tečnosti i izotermne kompresije tečnosti korišćeni su literaturni podaci iz protokola poređenja.

Nesigurnost koja se odnosi na razliku pokazivanja vase opterećene sinkerom i bez njega se procenjuje na osnovu komponenti ponovljivosti i ekscentričnosti (izračunato prema formuli C.6.4.6.1 iz OIML R111) [4].

Nesigurnost vezana za gustinu vazduha se izračunava na sledeći način [4]:

$$u_{\rho_A} = \rho_A \sqrt{\left(\frac{u_f}{\rho_A}\right)^2 + \left(\frac{u_p}{p}\right)^2 + \left(\frac{u_t}{T}\right)^2 + \left(\frac{u_h}{10^4}\right)^2} \quad (4)$$

gde je  $u_f$  nesigurnost CIPM formule,  $u_p$  nesigurnost merenja pritiska,  $u_t$  nesigurnost merenja temperature,  $u_h$  nesigurnost merenja relativne vlažnosti, dok su  $p$  i  $T$  vrednosti pritiska i temperature za vreme merenja.

Nesigurnost koja se odnosi na pritisak u tečnosti u okolini sinkera se procenjuje na osnovu nesigurnosti visine tečnosti iznad centra sinkera.

Nesigurnost visinske razlike tegova i sinkera procenjena je na 0,015 m.

Gradijent gravitacionog ubrzanja sa povezanom nesigurnošću je preuzet iz literature, iz protokola poređenja, kao zadata vrednost.

## KLJUČNO POREĐENJE EURAMET.M.D-K2.1 (1522)

U sklopu evropskog istraživačkog EMPIR projekta 17RPT02 rhoLiq - Uspostavljanje sledivosti za merenja gustine tečnosti, realizovano je ključno poređenje EURAMET.M.D-K2.1 (1522) u kome je učestvovala Laboratorija za gulinu DMDM, koje je obuhvatalo etaloniranje gustine tri tečnosti različitih fizičko-hemijskih karakteristika, na temperaturama od 20 °C i 5 °C, [1]. Tečnosti čija se gustina određivala u sklopu poređenja bile su deuterizovana ultračista voda, tetrahloretilen (TCE) i viskozno ulje EF168. Nacionalni metrološki institut Austrije, BEV, bio je organizator poređenja i ujedno i pilot laboratorija, uz podršku nacionalnog metrološkog instuta Nemačke, PTB-a, koji je obezbedio uzorke tečnosti. U poređenju je učestvovalo deset evropskih metroloških instituta, odnosno zemalja. Merenja su vršena od marta do juna 2021. godine.

U tabeli 3. Prikazani su referentni rezultati gustine za izabrane tečnosti i temperature

Tabela 3. Referentne vrednosti gustine

| Tečnosti i temperature |       | $X_{\text{ref}}$   | $U_{\text{ref}} (k=2)$ |
|------------------------|-------|--------------------|------------------------|
|                        |       | kg m <sup>-3</sup> |                        |
| <b>Voda</b>            | 20 °C | 998,4205           | 0,0066                 |
| <b>TCE</b>             | 5 °C  | 1647,424           | 0,053                  |
|                        | 20 °C | 1622,598           | 0,053                  |
| <b>EF168</b>           | 20 °C | 830,358            | 0,045                  |

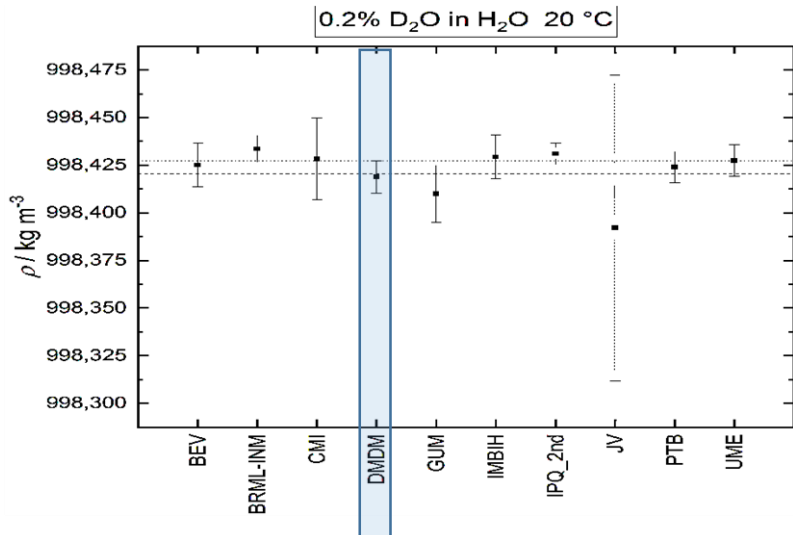
U tabeli 4. Prikazani su rezultati merenja gustine deuterizovane vode (0,2 % D<sub>2</sub>O u H<sub>2</sub>O) na temperaturi od 20 °C. Date su vrednosti gustine, proširene merne nesigurnosti, stepen ekvivalentnosti zajedno sa pripadajućom mernom nesigurnošću i absolutna normalizovana greška En [1].

Tabela 4. Rezultati poređenja za deuterizovanom vodom na 20°C

| Učesnici        | $\rho$<br>u kg m <sup>-3</sup> | $U(\rho)$<br>u kg m <sup>-3</sup> | $D_i$<br>u kg m <sup>-3</sup> | $U(D_i)$<br>u kg m <sup>-3</sup> | $E_n$ |
|-----------------|--------------------------------|-----------------------------------|-------------------------------|----------------------------------|-------|
| <b>BEV-PTP</b>  | 998,425                        | 0,011                             | 0,0045                        | 0,0093                           | 0,49  |
| <b>BRML-INM</b> | 998,4336                       | 0,0070                            | 0,0131                        | 0,0096                           | 1,36  |
| <b>CMI</b>      | 998,428                        | 0,022                             | 0,008                         | 0,023                            | 0,35  |
| <b>DMDM</b>     | 998,4188                       | 0,0084                            | -0,002                        | 0,011                            | 0,16  |
| <b>GUM</b>      | 998,410                        | 0,015                             | -0,011                        | 0,016                            | 0,65  |
| <b>IMBIH</b>    | 998,429                        | 0,012                             | 0,009                         | 0,013                            | 0,66  |
| <b>IPQ_2nd</b>  | 998,4309                       | 0,0056                            | 0,0104                        | 0,0087                           | 1,20  |
| <b>JV</b>       | 998,392                        | 0,080                             | -0,029                        | 0,081                            | 0,35  |
| <b>PTB</b>      | 998,4240                       | 0,0081                            | 0,0035                        | 0,0047                           | 0,74  |
| <b>UME</b>      | 998,4275                       | 0,0082                            | 0,007                         | 0,011                            | 0,66  |

Dobijeni rezultati potvrđuju da je realizacija sistema hidrostatičke vase i postavka metode merenja gustine tečnosti uspešna i da omogućava dalji rad na razvoju etalona gustine tečnosti u Laboratoriji za gulinu DMDM. Rezultati ovog poređenja pokazuju da pri rukovanju tečnostima treba obratiti posebnu pažnju. Kontaminacije se mogu lako uneti u uzorke i mogu izazvati odstupanja od referentnih vrednosti koja su veća od navedenih nesigurnosti merenja. Posebno ovo važi za higroskopske tečnosti kao što je tetrahloretilen, pri čijem merenju je došlo do kontaminacije uzorka vodom iz vazduha. Pri određivanju

gustine tečnosti na niskim temperaturama, moguća je i pojava kondenzacije, dok kod viskoznih tečnosti postoji problem pojave mehura vazduha prilikom unošenja tečnosti u mernu posudu. Unapređenje metode merenja gustine tečnosti na hidrostatickoj vagi u DMDM će se bazirati na usavršavanju postupka rukovanja referentnim tečnostima.



Slika 3. Voda na 20 °C. Izmerene ([Error! Reference source not found. 4](#)) i referentne vrednosti gustine ( $X_{\text{ref}}$ : isprekidana linija;  $X_{\text{ref}} \pm U_{\text{ref}}$ : tačkaste linije, tabela 3) sa njihovim proširenim nesigurnostima ( $k=2$ ).

## ZAKLJUČAK

Realizacijom mernog sistema hidrostaticke vase u Laboratoriji za gustinu Direkcije za mere i dragocene metale, ostvaren je primarni etalon koji se nalazi na vrhu lanca sledivosti merenja i etaloniranja u oblasti gustine tečnosti. Ovim je, osim samog značaja nezavisne realizacije ove fizičke veličine, ostvarena sledivost za etaloniranje denzitometara sa oscilujućom cevi, kao i za proizvodnju i sertifikovanje referentnih materijala - tečnosti poznatih gustina. Na taj način, modifikacijom i realizacijom mernog sistema hidrostaticke vase za etaloniranje tečnosti uspostavljeno je jedinstvo i sledivost merenja u oblasti gustine tečnosti na najvišem nivou u Republici Srbiji.

## ZAHVALNOST

Zahvaljujemo se kolegama iz Direkcije za mere i dragocene metale koji su pomogli realizaciju ovog rada. Deo finansijskih sredstava je obezbeđen sa EMPIR projekta 17RPT02 "rhoLiq".

## LITERATURA

- [1] L Prochaska, J Rauch, A Furtado, F Benga, P Bartos, J Bebic, E Lenard, S Alisic, A Alic, P T Neuvonen, G S Sariyerli and Ü Y Akcadag Final report on EURAMET key comparison EURAMET.M.D-K2.1 (1522), 2024 *Metrologia* **61** 07006
- [2] Guideline on liquid density measurement using a hydrostatic weighing apparatus, Draft EURAMET Technical Guide No. n Version 1.0 (04/2018), unpublished
- [3] JCGM 100:2008, " Evaluation of measurement data - Guide to the expression for uncertainty in measurements," BIPM.
- [4] OIML R111-1, Weights of classes E<sub>1</sub>, E<sub>2</sub>, F<sub>1</sub>, F<sub>2</sub>, M<sub>1</sub>, M<sub>1-2</sub>, M<sub>2</sub>, M<sub>2-3</sub> and M<sub>3</sub>, Part 1, 2004.

Podaci o autorima:

dr Jelena Bebić, dipl inž. teh., Rukovodilac Grupe za metrologiju u hemiji, Direkcija za mere i dragocene metale, Mike Alasa 14, Beograd, e-mail: [jelenabebic@dmdm.rs](mailto:jelenabebic@dmdm.rs), Tel. (+381) ( 11) 202 44 27, Mob: (+381)( 66) 860 4083.

dr Vladan Škerović, dipl inž., Tehnički direktor AMSS-Centar za motorna vozila d.o.o., Kneginje Zorke 58, Beograd, e-mail: [vladan@cmv.rs](mailto:vladan@cmv.rs), Tel. (+381) ( 65) 9871664.

Luka Gažević, dip.inž., Grupa za metrologiju u hemiji, Direkcija za mere i dragocene metale, Mike Alasa 14, Beograd, e-mail: [lukagazevic@dmdm.rs](mailto:lukagazevic@dmdm.rs), Tel. : (+381)(66) 860 4165.